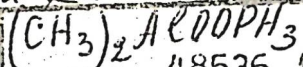


Al-C-P<sub>3</sub>

As, Sb, Bi

$\gamma$ R u Raman Spectra

41231.9055



1974

Ex-Ch/XHB-z, Cd

48536 03



X 45-7722

Schaible B., Roessel K., Weidlein

J., Hausen H.D. Untersuchungen an Dialkylmetallphosphor- und -phosphinsäurederivaten der Elemente Aluminium, Gallium, Indium und Thallium. III.

Die Schwindungsspektren der Hypophosphate und der Dimethylthiophosphinate.

"Z. anorg. und allg. Chem.", 1974, 409,  
N 2, 176-184

*(CH<sub>3</sub>)<sub>3</sub>AlP(CH<sub>3</sub>)<sub>3</sub>* 13 1978

12 Б90. Молекулярная структура комплекса триметилалюминия с триметилфосфином,  $(\text{CH}_3)_3\text{AlP}(\text{CH}_3)_3$ , определенная методом газовой электронографии. А Г-теннинген Агне, Fernholz Liv, Haaland Агне, Weidlein Johann. The molecular structure of the complex trimethylaluminium trimethylphosphane,  $(\text{CH}_3)_3\text{AlP}(\text{CH}_3)_3$ , determined by gas phase electron diffraction. «J. Organometal. Chem.», 1978, 145, № 1, 109—119 (англ.)

*молекул.  
структур*

Методом газовой электронографии (т-ра паров 85°, расстояние сопло — фотопластиинка 48 и 20 см) исследована молек. структура комплекса  $(\text{CH}_3)_3\text{AlP}(\text{CH}_3)_3$  (I). Соединение I синтезировано прямым взаимодействием  $\text{Al}_2(\text{CH}_3)_6$  и  $\text{P}(\text{CH}_3)_3$ . В предположении симметрии  $C_{3v}$  для I, скрещенной конформации  $\text{CH}_3$ -групп относительно связи Al—P,  $C_{3v}$ -симметрии всех  $\text{CH}_3$ -групп (оси  $C_3$  совпадают с направлениями связей Al—C или P—C), равенства расстояний H—C(Al) и H—C(P) и скрещенной конформации C—H-связей групп  $\text{CH}_3$  относительно связей Al—C и P—C получены след. значения равновесных межатомных расстояний и валентных углов в структуре I: Al—P 2,53 (0,116), P—C 1,822 (0,058), Al—C 1,973 (0,067) C—H (средн.) 1,119 Å

*Х. 1978 № 12*

(0,079),  $\angle$ PAIC 100,0°,  $\angle$ CAIC 117,7°,  $\angle$ AlPC 115,0°,  $\angle$ CPC 103,4°,  $\angle$ AlCH 111,9°,  $\angle$ PCH 111,4° (в скобках приведены среднеквадратичные амплитуды колебаний по кривой радиального распределения). Найденная для I длина связи Al—C значительно больше, чем в (AlP)<sub>x</sub> (II) — 2,367 Å, где каждый Al тетраэдрически окружен 4 атомами P. Удлинение связи Al—P в I объясняется ее чисто дативной природой, тогда как в II связь Al—P имеет на 75% ковалентный и на 25% дативный характер. Проведен анализ лит. данных по длинам связей Al—N в ряде комплексов и показано, что длина связи между 4-координац. атомами Al и N монотонно увеличивается с ростом ее дативного характера. Оцененный барьер внутреннего вращения группировок Al(CH<sub>3</sub>)<sub>3</sub> и P(CH<sub>3</sub>)<sub>3</sub> относительно связи Al—P очень мал и составляет не более 0,5 ккал/моль. Сравнение геометрии акцепторного фрагмента (CH<sub>3</sub>)<sub>3</sub>Al в I со структурой свободного мономерного (CH<sub>3</sub>)<sub>3</sub>Al (III) показывает, что при образовании комплекса связь Al—C заметно удлиняется (в III Al—C 1,957 Å), а плоско-тригональная координация атома Al в III становится тетраэдрич. в I. В донорном фрагменте —P(CH<sub>3</sub>)<sub>3</sub> в I длина связи P—C, напротив, уменьшается по сравнению с найденной в свободной молекуле P(CH<sub>3</sub>)<sub>3</sub> (IV) (1,846 Å), а угол CPC заметно увеличивается в (IV) 99,1°. Наблюдаемые изменения геометрии донорного и акцепторного фрагментов комплекса I согласуются с предсказанными по теории отталкивания валентных электронных пар.

А. Е. Калинин